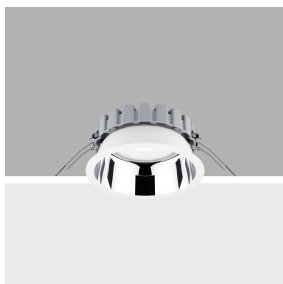


Dernière mise à jour des informations: Avril 2025

Configuration du produit: QF83.39

QF83.39: Ø 163 mm - neutral white - DALI - UGR<19 - 16.9W 2021lm - 4000K - CRI 90 - Blanc/Aluminium

**Référence produit**

QF83.39: Ø 163 mm - neutral white - DALI - UGR<19 - 16.9W 2021lm - 4000K - CRI 90 - Blanc/Aluminium

Description technique

Appareil rond, fixe, prévu pour l'utilisation de source LED à technologie C.o.B. Version lampe à poser, avec plaque. Réflecteur métallisé sous vide à l'aluminium, avec couche de protection anti-rayures. Dissipateur en aluminium moulé sous pression peint coloris gris. Le produit est pourvu de LED tonalité neutral white (4 000K). Émission lumineuse UGR<19 L<3000 cd/m² idéale pour les lieux équipés d'écrans d'ordinateurs.

Installation

A encaster à l'aide de ressorts de torsion qui permettent une installation facile sur faux plafonds d'une épaisseur de 1 à 20 mm.

Coloris

Blanc/Aluminium (39)

Poids (Kg)

0.68

Montage

en saillie au plafond

Câblage

Le produit comprend les composants DALI

Conforme à la norme EN60598-1 et à la réglementation en vigueur (ou à la réglementation relative)

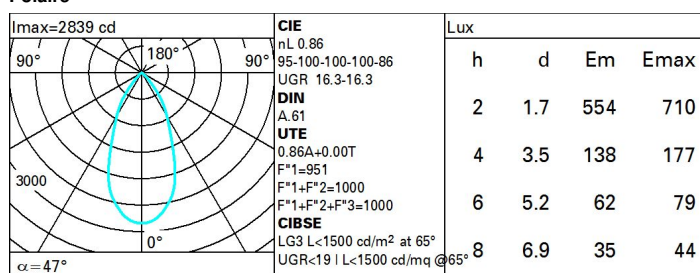


IP20

IP54

Sur la partie visible
du produit une fois installé**Données techniques**

| | | | |
|--|-------|--------------------------------------|---------------------------------|
| Im du système: | 2021 | Température de couleur [K]: | 4000 |
| W du système: | 16.9 | MacAdam Step: | 2 |
| Im source: | 2350 | Durée de vie LED 1: | > 50,000h - L90 - B10 (Ta 25°C) |
| W source: | 14 | Code Lampe: | LED |
| Efficacité lumineuse (lm/W, valeurs du système): | 119.6 | Nombre de lampes par groupe optique: | 1 |
| Im en mode secours: | - | Code ZVEI: | LED |
| Flux total émis à un angle de 90° ou plus [Lm]: | 0 | Nombre de groupes optiques: | 1 |
| Light Output Ratio (L.O.R.) [%]: | 86 | Control: | DALI-2 |
| IRC (minimum): | 90 | | |

Polaire

Coefficients d'utilisation

| R | 77 | 75 | 73 | 71 | 55 | 53 | 33 | 00 | DRR |
|------|----|----|----|----|----|----|----|----|-----|
| K0.8 | 76 | 71 | 68 | 66 | 71 | 68 | 67 | 64 | 75 |
| 1.0 | 79 | 76 | 73 | 70 | 75 | 72 | 72 | 69 | 80 |
| 1.5 | 84 | 81 | 79 | 77 | 80 | 78 | 77 | 74 | 87 |
| 2.0 | 87 | 85 | 83 | 81 | 84 | 82 | 81 | 79 | 91 |
| 2.5 | 89 | 87 | 86 | 84 | 86 | 84 | 84 | 81 | 94 |
| 3.0 | 90 | 89 | 88 | 87 | 87 | 86 | 85 | 83 | 96 |
| 4.0 | 91 | 90 | 89 | 89 | 88 | 88 | 87 | 84 | 98 |
| 5.0 | 91 | 91 | 90 | 90 | 89 | 89 | 87 | 85 | 99 |

Courbe limite de luminance

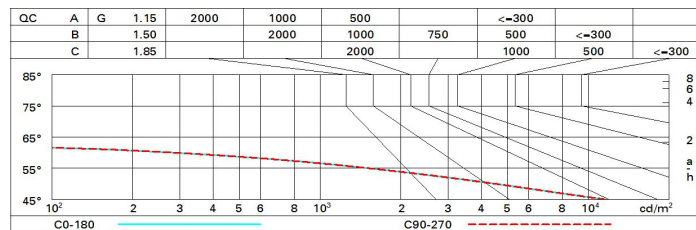


Diagramme UGR

| Corrected UGR values (at 2350 lm bare lamp luminous flux) | | | | | | | | | | | |
|--|------|---------------------|------|------|------|------|-------------------|------|------|------|------|
| Reflect.: ceiling/cav walls work pl. Room dim x y | | viewed crosswise | | | | | viewed endwise | | | | |
| 2H | 2H | 10.8 | 17.5 | 17.1 | 17.7 | 18.0 | 10.8 | 17.5 | 17.1 | 17.7 | 18.0 |
| | 3H | 10.7 | 17.3 | 17.0 | 17.6 | 17.8 | 10.7 | 17.3 | 17.0 | 17.6 | 17.8 |
| | 4H | 10.6 | 17.2 | 17.0 | 17.5 | 17.8 | 10.6 | 17.2 | 17.0 | 17.5 | 17.8 |
| | 6H | 10.6 | 17.0 | 16.9 | 17.4 | 17.7 | 10.6 | 17.1 | 16.9 | 17.4 | 17.7 |
| | 8H | 10.5 | 17.0 | 16.9 | 17.3 | 17.7 | 10.5 | 17.0 | 16.9 | 17.3 | 17.7 |
| | 12H | 10.5 | 16.9 | 16.9 | 17.3 | 17.6 | 10.5 | 16.9 | 16.9 | 17.3 | 17.6 |
| 4H | 2H | 10.6 | 17.2 | 17.0 | 17.5 | 17.8 | 10.6 | 17.2 | 17.0 | 17.5 | 17.8 |
| | 3H | 10.5 | 16.9 | 16.9 | 17.3 | 17.6 | 10.5 | 16.9 | 16.9 | 17.3 | 17.6 |
| | 4H | 10.4 | 16.8 | 16.8 | 17.2 | 17.5 | 10.4 | 16.8 | 16.8 | 17.2 | 17.5 |
| | 6H | 10.3 | 16.7 | 16.7 | 17.1 | 17.5 | 10.3 | 16.7 | 16.7 | 17.1 | 17.5 |
| | 8H | 10.3 | 16.6 | 16.7 | 17.0 | 17.4 | 10.3 | 16.6 | 16.7 | 17.0 | 17.4 |
| | 12H | 10.2 | 16.5 | 16.7 | 16.9 | 17.4 | 10.2 | 16.5 | 16.7 | 16.9 | 17.4 |
| 8H | 4H | 10.3 | 16.6 | 16.7 | 17.0 | 17.4 | 10.3 | 16.6 | 16.7 | 17.0 | 17.4 |
| | 6H | 10.2 | 16.4 | 16.6 | 16.9 | 17.4 | 10.2 | 16.4 | 16.6 | 16.9 | 17.4 |
| | 8H | 10.1 | 16.3 | 16.6 | 16.8 | 17.3 | 10.1 | 16.3 | 16.6 | 16.8 | 17.3 |
| | 12H | 10.1 | 16.3 | 16.6 | 16.7 | 17.3 | 10.1 | 16.3 | 16.6 | 16.7 | 17.3 |
| 12H | 4H | 10.2 | 16.5 | 16.7 | 16.9 | 17.4 | 10.2 | 16.5 | 16.7 | 16.9 | 17.4 |
| | 6H | 10.1 | 16.3 | 16.6 | 16.8 | 17.3 | 10.1 | 16.3 | 16.6 | 16.8 | 17.3 |
| | 8H | 10.1 | 16.3 | 16.6 | 16.7 | 17.3 | 10.1 | 16.3 | 16.6 | 16.7 | 17.3 |
| Variations with the observer position at spacing: | | | | | | | | | | | |
| S = | 1.0H | 4.2 / -15.1 | | | | | 4.2 / -15.1 | | | | |
| | 1.5H | 7.0 / -37.3 | | | | | 7.0 / -37.3 | | | | |
| | 2.0H | 9.0 / -38.6 | | | | | 9.0 / -38.6 | | | | |